

# MODELOVÁ CIRKULACE FLUID V EXPERIMENTÁLNÍ NÁDOBĚ MOCK-UP-CZ

Mathematical modelling of fluid circulation in experimental vessel Mock-Up-CZ

**Martin Šrámek, Tomáš Kuchovský**

Ústav geologických věd PřF MU, Kotlářská 2, 637 11 Brno; e-mail: 357647@mail.muni.cz

**Key words:** Mock-Up-CZ, numerical model, SHEMAT, convection cell

## Abstract

Experiment simulating the storage of spent nuclear fuel in the canister filled by bentonite mixture took place in the Center of experimental Geotechnics (CEG) on the Faculty of Civil engineering of the Czech Technical University in Prague during the years 2002–2006. After the realisation of the experiment it was shown, that both non-homogeneous geochemical and temperature fields were established. The main aim of the work was focused on the evaluation of the fluid flow characteristics inside the container, especially on the direction and flow velocities influenced by the increased temperature. Numerical modelling using the SHEMAT computer code was used to simulate the fluid flow.

Mathematical modelling confirmed the probable formation of the convection cells along the heater with variable velocities depending on the hydraulic and thermal properties of the bentonite mixture and on the physical properties of the saturating fluid. The generated flow field could be the driving force for the geochemical non-homogeneities.

## Úvod

Ukládání vyhořelého jaderného odpadu je jedním z aktuálně řešených problémů v řadě vyspělých států světa, které disponují jadernou energetikou. V rámci dlouhodobého výzkumu probíhají in-situ experimenty simulující ukládání vyhořelého jaderného odpadu do kontejneru obklopeného inženýrskou a přírodní bariérou. Jedním z nich byl i experiment Mock-Up-CZ. Cílem práce bylo vytvoření matematického modelu experimentálního kontejneru pro ukládání vyhořelého jaderného odpadu a potvrdit, či poprít vznik konvekčních cel v nádobě. Samotný článek přibližuje modelování v programu SHEMAT, jehož cílem bylo posoudit variabilitu cirkulace fluid v kontejneru a odhalit její možné příčiny na vznik nehomogenit, které byly zjištěny při dismantlingu. Cirkulace fluid v uzavřeném kontejneru pro deponování vysoce aktivního paliva může vést k zásadnímu ovlivnění vlastností bentonitu i materiálu pláště kontejneru, což může vést až k omezení spolehlivé funkce primárních složek inženýrské bariéry.

## Experiment Mock-Up-CZ

Konstrukce fyzikálního modelu Mock-Up-CZ byla tvořena válcovou ocelovou nádobou s tloušťkou stěny 7,7 mm, vnějším průměrem 800 mm a výškou 2 240 mm. Nádoba byla vsazena do jámy (krychle) o hraně 3 m. Dno nádoby bylo tvořeno ocelovou deskou o tloušťce 50 mm, přivářenou k válcové nádobě. Víko nádoby tloušťky 50 mm bylo staženo k pláště za pomocí 16 svorníků o Ø 22 mm, celá kontaktní plocha byla opatřena těsněním. Systém byl navrhnut pro vnitřní tlak až 5 MPa (Pacovský et al. 2007).

Prostor mezi topným tělesem a ocelovou nádobou byl vyplněn více než třemi sty tvárnicemi o tloušťce 70 mm,

tvořenými bentonitovou směsí s příměsí křemenného písku a grafitu. Zbylý prostor byl podle Svobody a Vašíčka (2010) tvořen montážní spárou o tloušťce 25 mm vyplněnou vzduchem a 50 mm vnějším zásypem, vytvořeným ručně zhutněnou směsí s identickým složením jako je složení tvárnice.

Vnitřní strana ocelového pláště byla opatřena zavodňovacím systémem, který umožňoval dlouhodobou hydrataci systému. Jednalo se o 4 perforované trubičky umístěné po 90° po obvodu válcového tělesa.

Hydratační systém byl oddělen od bentonitové bariéry dvojitou filtrační sítí, která umožňovala rovnoměrné vlhčení bentonitové bariéry (Svoboda – Vašíček 2010).

## Metodika

Hlavním cílem numerického modelování v programu SHEMAT (Bartels et al. 2003) bylo sestrojit model kontejneru experimentální nádoby Mock-Up-CZ a za pomocí programových nástrojů určit a popsat charakteristiku proudění a distribuce teploty uvnitř bentonitové bariéry.

Program SHEMAT využívá k řešení numerických simulací proudění a přenosu tepla základní rovnice pro proudění vycházející z Darcyho zákona pro proudění tekutin v porézním médiu v kartézském koordinačním systému (x, y, z) (Bartes et al. 2003):

$$\underbrace{\rho_f g (\alpha + \Phi\beta)}_{S_s} \frac{\partial h_0}{\partial t} = \nabla \left[ \underbrace{\frac{\rho_f g k}{\mu}}_K (\nabla h_0 + \rho_r \nabla z) \right] + \underbrace{W_s \frac{\rho^*}{\rho_0}}_{W'} \quad 3.1$$

kde  $S_s$  je výraz pro koeficient specifické storativity,  $K$  je tenzor hydraulické vodivosti a  $W'$  vyjadřuje zdroje či úbytky

hmotových toků. Zbylé parametry vyjadřují referenční hydraulickou výšku  $h_o$ , relativní hustotu  $\rho_r$  a z je hloubka.

Teplo může být přenášeno v saturovaném, porézním prostředí třemi cestami: kondukcí skrz pevnou fázi, kondukcí přes kapalnou fázi, konvekcí a advekcí nebo prouděním kapaliny. Rovnice pro přenos tepla je podobná rovnici proudění tekutin a vychází ze zákona zachování energie (Clauser 1999).

Nedílnou součástí výpočtu je bezrozměrné Peclétovo číslo ( $P_e$ ), které kvantitativně určuje, zda v systému převažuje mechanická disperze či difuze, v tomto případě jestli dochází k přenosu tepla za pomocí advekce nebo teplotního gradientu. Peclétovo číslo je definováno jako,

$$P_e = \frac{Z \cdot u}{D} \quad 3.2$$

kde  $Z$  je délka transportu,  $u$  je průtoková rychlosť kapalné fáze a  $D$  značí disperzní koeficient. To jestli dojde v systému ke konvekci je dán hodnotou Rayleighova čísla. Ke konvekci dochází v materiálech, pro které tzv. Rayleighovo číslo  $Ra$  nabývá hodnoty větší než 1 000. Rayleighovo číslo může být vyjádřeno jako,

$$Ra = \frac{ga\theta}{vk} D^4 \quad 3.3$$

kde  $D$  je tloušťka vrstvy,  $g$  těhové zrychlení,  $a$  tepelná roztažnost, v kinematická viskozita,  $k$  tepelná difuzivita,  $\theta$  superadiabatický teplotní gradient.

#### Okrayové podmínky

V programu SHEMAT (Bartels et al. 2003) nelze nastavit nepropustné hranice uvnitř modelu. Proto, aby veškerá voda injektovaná do modelu vrty simulující saturaci vodou zůstávala v bufferu, byly v zóně I, II a III reprezentující ocelovou nádobu (obr. 2), topné těleso a vzdach kolem modelu, nastaveny pórositost a propustnost na extrémně nízké hodnoty ( $1 \cdot 10^{-30}$  resp.  $1 \cdot 10^{-50}$ ), které nemohou proudění ovlivnit.

Hydraulický gradient byl řešen tak, aby výsledný rozdíl hydraulických potenciálů zajistil veškerý transport médiá pomocí difuze. To bylo opakovaně testováno a do modelu byl v tomto případě hydraulický gradient  $I$  nastaven na  $4,5 \cdot 10^{-11}$ . Model byl řešen v režimu ustáleného proudění a při plné saturaci pórů.

Tepelné okrajové podmínky byly nastaveny jako zóny s konstantní teplotou. Topné těleso bylo simulováno jako okrajová podmínka s konstantní teplotou  $95^\circ\text{C}$ . Stejné nastavení bylo použito i pro oblast simulující vzduchový obal na hodnotu  $20^\circ\text{C}$ .

#### Vstupní parametry do modelování

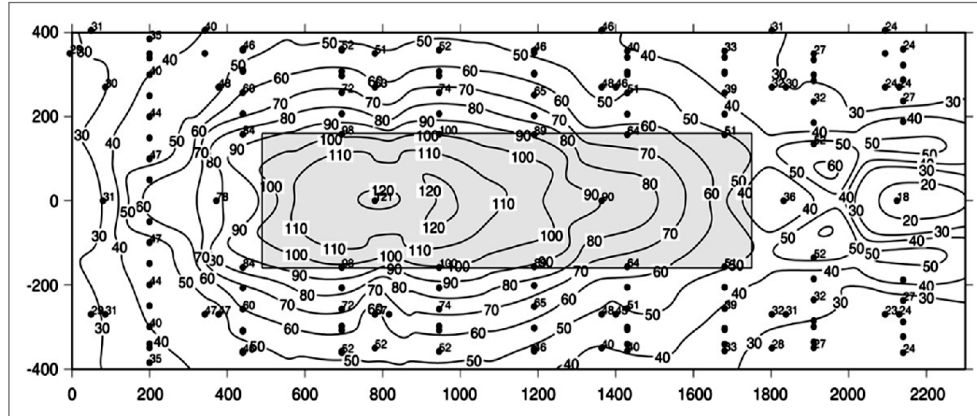
Vstupní modelová data byla převzata z literatury zabývající se výše zmíněným experimentem a odborné literatuře (tab. 1). Model vychází z naměřeného rozložení teploty, které se ustálilo během pokusu po úplné saturaci experimentální nádoby vodou (obr. 1). Modelová oblast byla rozdělena do osmi zón na základě hydraulických a tepelných parametrů jednotlivých oblastí (viz. tab. 1). Hydraulické a tepelné parametry bufferu se měnily v závislosti na teplotě, podle vzdálenosti od topného tělesa (hodnota vzdáleností pro zóny IV až VIII je měřena od topného tělesa). Změnu hydraulických parametrů v souvislosti s teplotou zmiňuje např. Push et al. (2007). Rovněž Přikryl – Weishauptová (2010), kteří se zaměřili na objem, specifikou plochu a poloměr pórů v závislosti na teplotě, přicházejí se stejným závěrem. Okrajové podmínky a geometrie modelu byly zvoleny ve shodě s experimentem (obr. 2), kdy bentonitová bariéra byla rozdělena do pěti zón s odlišnými hydraulickými a tepelnými parametry. Základní velikost modelové buňky byla  $1 \times 1 \text{ cm}$  s tloušťkou  $10 \text{ cm}$ .

Vstupní parametry pro injektovanou vodu jsou následující: hustota ( $998 \text{ kg/m}^3$ ), tepelná vodivost ( $0,60 \text{ W/m}\cdot\text{K}$ ), měrná tepelná kapacita ( $4187 \text{ J/kg}\cdot\text{K}$ ), kompresibilita ( $4,5 \cdot 10^{-10} \text{ Pa}$ ) (Bartels et al. 2003).

#### Výsledky a diskuse

Výstupem z programu SHEMAT (Bartels et al. 2003) jsou grafy znázorňující rozložení teploty, rychlosť proudění ve směru osy X (šířka experimentální nádoby, obr. 3)

a rychlosť proudění ve směru Z (výška experimentální nádoby, obr. 2). Proudění ve směru X je znázorněno v kladných a záporných hodnotách, kde hodnoty kladné znázorňují proudění do pravé strany a hodnoty záporné naopak do levé strany. Stejný princip je použit pro znázornění proudění ve směru Z, kde hodnoty kladné ukazují směr proudění nahoru a hodnoty



Obr. 1: Rozložení teploty v bentonitové bariéře experimentu Mock-Up-CZ; hodnoty na ose x a y jsou vzdálenosti v mm; numerická data jsou teploty v °C (Přikryl – Weishauptová 2010).

Fig. 1: Distribution of peak temperature in the buffer of the Mock-Up-CZ; the values on x and y axes are distances in mm; numerical data within picture are temperatures in °C (Přikryl – Weishauptová 2010).

Tab. 1: Vstupní hydraulické a tepelné parametry do programu SHEMAT (Push et al. 2007; Blomberg 2001).

Tab. 1: Input data of hydraulic and thermal properties of the zones in program SHEMAT (Push et al. 2001; Blomberg 2001).

		Hydraulické parametry		Tepelné parametry	
		Pórovitost (n), (-)	Propustnost (K), (m <sup>2</sup> )	Tepelná vodivost ( $\lambda$ ), (W/m·K)	Objemová tepelná kapacita (pc), (J/cm <sup>3</sup> ·K)
Zóna I	Vzduch	--	--	0,026	$1,21 \cdot 10^{-3}$
Zóna II	Ocelová nádoba	--	--	60	3,7
Zóna III	Topný těleso (obal)	--	--	60	3,7
Zóna IV	Buffer (22–19 cm)	0,55	$9,86 \cdot 10^{-15}$	2,25	2,4
Zóna V	Buffer (18–15 cm)	0,52	$1,58 \cdot 10^{-13}$	2,4	2,4
Zóna VI	Buffer (14–10 cm)	0,47	$1,87 \cdot 10^{-13}$	2,5	2,4
Zóna VII	Buffer (9–5 cm)	0,49	$2,27 \cdot 10^{-12}$	2,48	2,4
Zóna VIII	Buffer (4–0 cm)	0,46	$2,07 \cdot 10^{-12}$	2,57	2,4

záporné pohyb vody směrem dolů. Interpretace naměřených dat vychází z aplikace základních rovnic proudění a přenosu tepla využívaných programem SHEMAT.

V modelu simulujícím proudění v experimentální nádobě Mock-Up-CZ můžeme vyčlenit dvě konvekční cely v horní části kontejneru zasahující nejméně do dvou horních třetin experimentální nádoby. Tyto dvě cely mají téměř zrcadlovou symetrii dle osy protínající střed kontejneru.

Kladné hodnoty proudění ve směru Z (obr. 3) v horní části nad topným tělesem naznačují pohyb směrem vzhůru k okraji kontejneru (A, obr. 3). Rychlosť proudění zde dosahovala hodnoty 25 mm až 50 mm za den, směrem k okraji klesá na hranici 1,25 mm za den, následně se proudění stáčí směrem od topného tělesa (B, obr. 4). V zónách s vyšší propustností (VII, VIII; obr. 2) blíže topnému tělesu byla rychlosť proudění ve směru osy X vyšší, nežli tomu je v zóně s nižší propustností. Tento trend dále pokračuje i ve vertikálním proudění směrem dolů, kdy hodnoty rychlosti proudění jsou nejvyšší v místech náležících zóně VI (obr. 2) s propustností odpovídající hodnotě  $1,87 \cdot 10^{-13} \text{ m}^2$ . Dále k okraji nádoby se rychlosť proudění snižuje až na hodnotu blízkou 1,25 mm za den. Během vertikálního pohybu směrem ke dnu nádoby byla horizontální složka rychlosť jen do 1,25 mm za den.

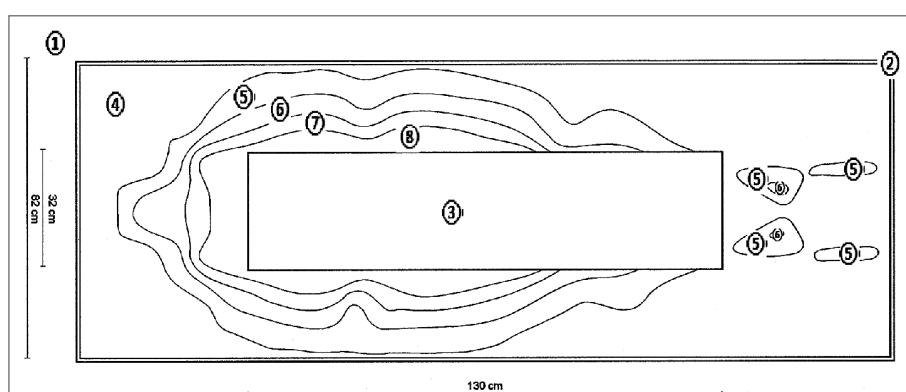
Ve výšce 145 cm (E, obr. 4) dojde ke změně směru horizontálního proudění směrem ke středu nádoby, který zesiluje ve výšce 90–100 cm (C, obr. 4), kde dochází k otáčení směru proudění směrem dolů. Následně došlo k mírnému stočení proudění podél horního levého rohu topného tělesa směrem k topnému

tělesu a opět směrem vzhůru. Část toku, která se ve výšce 90–100 cm neotocila a nevracela zpět, pokračuje až k bodu (D, obr. 3) okolo 70 cm nad dnem nádoby, kde pokračuje ve stejném trendu jako v bodu C.

Data z modelu ukazují, že veškerá voda dostávající se do systému v dolní třetině experimentální nádoby měla tendenci vystupovat vzhůru a to rychlosťí odpovídající až 1,25 mm za den. V levém dolním rohu proudění směřuje do středu, kde v důsledku nehomogeneity (zóna s nižší propustností) dochází ke změně směru proudění a ve vzdálenosti 20 cm od spodní části topného tělesa se obrací směrem k okraji nádoby. Na úrovni topidla se opět stáčí směrem k topnému tělesu a směřuje do horní části experimentální nádoby rychlosťí 5 mm za den v blízkosti topidla. Identický zrcadlově symetrický jev je pozorován na druhé straně modelu kontejneru.

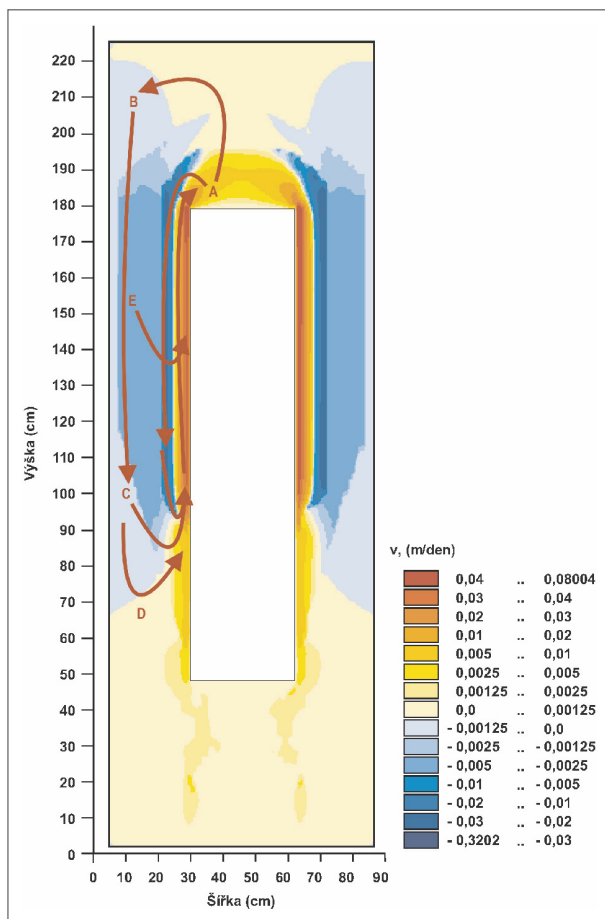
Z modelování je patrné, že veliký vliv na rychlosť proudění mají nejen fyzikální vlastnosti vody, ale i nehomogeneity, které patrně vznikly v přípravné fázi fyzikálního experimentálního modelu. Z tensoru hydraulické vodivosti K (rovnice 3.1) je patrné, že při klesající viskozitě vody v závislosti na rostoucí teplotě, roste filtrační (Darcyho) rychlosť. Přestože s vyšší teplotou je hustota nižší, ve srovnání se změnou viskozity se jedná o malý rozdíl a výsledná hodnota filtrační rychlosť bude vyšší.

Nehomogeneity, které vznikly v samotném začátku fyzikálního experimentu, byly způsobeny pravděpodobně několika dílčími jevy. Samotné experimentální uspořádání ve fyzikálním modelu (tvárnice vyplňené směsí), pravděpodobně vedlo ke vzniku přednostní infiltrace. Při saturaci na frontě smáčení dochází k transportu ionů rozpuštěných ve vodě, které se sráží a rozpouštějí a pravděpodobně ovlivňují tepelně-hydraulické charakteristiky



Obr. 2: Schématické rozdělení zón ve vertikálním řezu modelu, simulující experiment Mock-Up-CZ.

Fig. 2: Schematic division of zones in vertical cross-section of model simulating experiment Mock-Up-CZ.

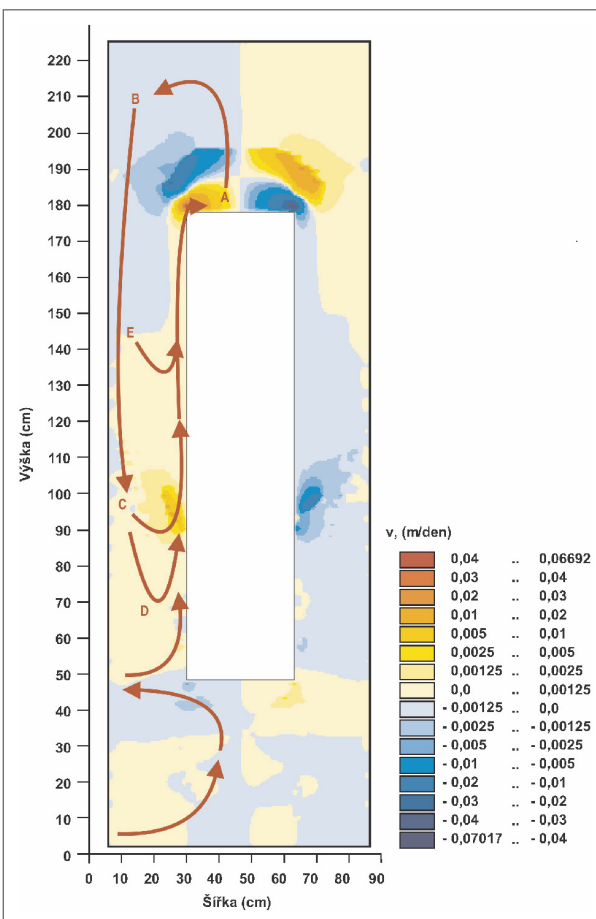


Obr. 3: Rychlosť proudenia v smeru Z.  
Fig. 3: Flow speed in Z direction.

(Karnland et al. 2009). Dalším jevom podliejúcim sa na nehomogenitě bufferu, je pokles plochy a celkového objemu pórū, zapríčinéný částečným rozpadom jílových agregátov majúcich rozmiér do 3 mm. Polomer makropór se zvýšil dvoj- až trojnásobne z 500 nm na 1 500 nm v zónach s nejvyšší teplotou (85 °C) (Přikryl – Weishaupová 2010).

Vznik konvekčných cel v experimentálnej nádobe Mock-Up-CZ má pouze teoretický predpoklad a nelze jej experimentálne prokázať. Distribuce tepla je významný faktor a, pretože jej nelze prokázať jinak než teoreticky za pomocí matematického modelovania, může se významně podílet na intenzite geochemických procesů spojených s transformací bentonitu. Dominujúcim procesom transportu v kontejneru je difúze vyjadrená Peclétovým číslom  $Pe$  (rovnice 3.2). Hodnota Rayleighova čísla ( $Ra = 1,74 \cdot 10^6$ ) dopočítaná vzorcem (3.3) nedosahuje hodnoty blížící se limitní hranici (kritická hodnota) pro vznik konvekčných cel, která je  $Ra = 103$ . Podle Kostoglou et al. (2013) závisí velikost kritické hodnoty Rayleighova čísla na podmínkách panujících v systému, ve ktorém ke vzniku konvekčných cel došlo. Túdžel nelze vyloučiť možný vznik konvekčných cel v bufferu. Míra konvekce narústá se vztústajúcim teplotním rozdielom a koeficientom tepelné vodivosti prostredia a klesá se vztústajúc viskozitou a chaotickým pohybom molekul.

Uvedené skutečnosti je potreba bráť v potaz pri hodnocení výsledků numerického modelování. I přes veškerou snahu o dodání nejpřesnejších vstupních dat může



Obr. 4: Rychlosť proudenia v smeru X.  
Fig. 4: Flow speed in X direction.

být chován konvekčných cel nebo jejich existence uvnitř nádoby odlišná, ponеvadž vychází z teplotních podmínek v zadaném poli pri zadaných okrajových podmínkach a vlastnostech domény. A to pri predpokladu, že by v reálnej nádobě opravdu mohlo dojít ke vzniku konvekčných cel.

## Závěr

Z numerického modelování, pri zadaných okrajových podmínkach a vlastnostech zón, můžeme uvažovat o vytvoření nehomogenit, kde je rychlosť proudenia ve směru Z podél topného tělesa dána především hydraulickými parametry konkrétní nehomogenní zóny. Stejné podmínky platí pro rychlosť proudenia ve směru X. Dalším faktorem přispívajícím k rozdílným rychlostem proudení jsou fyzikální vlastnosti vody, jako jsou její hustota a viskozita, které se mění s teplotou vody. Při rozebrání fyzikálního modelu byly potvrzeny nehomogenity v bentonitové bariéře. Zda byly způsobeny v samotném počátku nebo při zahřívání, saturaci či až následně při teoretickém formování konvekčných cel tato práce neřeší. Podle proudení je však jasné, že konvekční celty následně významně ovlivňují geochemické procesy v zónách s vyšší rychlosťí proudenia a teplotou.

## Poděkování

Autoři článku děkují za konzultace kolegům z pracoviště CEG ČVUT v Praze. Článek vznikl za podpory Projektu OPVK 2.3. – CZ.1.07/2.3.00/20.0052 ReWaNuSa.

**Literatura**

- Bartels, J. – Clauser, C. – Kühn, M. (2003): SHEMAT – Simulator for Heat and Mass Transport (verze 7.1) [počítačový program]. – Springer Verlag, Heidelberg-Berlin.
- Blomberg, T. (2001): HEAT3 – Three-dimensional heat transfer (manuálk verzi 4.0) [počítačový program] – Blocon Sweden (www.buildingphysics.com), Nordmannavagen 96, SE-224 75 Lund, Sweden.
- Bartels, J. – Clauser, C. – Kühn, M. (2003): Numerical Simulation of Reactive Flow using SHEMAT. – In: Clauser C. (ed.), Numerical Simulation of Reactive Flow in Hot Aquifers – SHEMAT/Processing SHEMAT, Springer Verlag, Heidelberg-Berlin, 5–74.
- Clauser, C. (1999): Thermal Signatures of Heat Transfer processes in the Earth's Crust (Lecture Notes in Earth Science), 85. – Springer Verlag, Heidelberg-Berlin, 111 str.
- Karnland, O. – Olsson, S. – Dueck, A. – Birgersson, M. – Nilsson, U. – Hernan-Hakansson, T. – Pedersen, K. – Nilsson, S. – Eriksson, T-E. – Rosborg, B. (2009): Long-term test of buffer material at the Äspö Hard Rock Laboratory, LOT project. – Final report on the A2 test parcel. SKB TR-09-29, SvenskKärnbränslehantering AB.
- Kostoglou, M. – Evgenidis, S. P. – Karapantsios, T. D. (2013): Unexpected natural convection heat transfer for small Rayleigh numbers in external geometry. – International Journal of Heat and Mass Transfer, 64, 773–782. Amsterdam.
- Pacovský, J. – Svoboda, J. – Zapletal, L. (2007): Saturation development in the bentonite barrier of the Mock-Up-CZ geotechnical experiment. – Physics and Chemistry of the Earth, 32 (8–14): 767–779.
- Přikryl, R. – Weishauptová, Z. (2010): Hierarchical porosity of bentonite-based buffer and its modification due to increased temperature and hydration. – Applied Clay Science, 47 (1–2): 163–170.
- Push, R. – Pacovský, J. – Čechová, Z. (2007): Are all smectite clays suitable as “buffer”? – Physics and Chemistry of the Earth, část A/B/C 32 (1–7), 116–122.
- Svoboda, J. – Vašíček, R. (2010): Preliminary geotechnical results from the Mock-Up-CZ experiment. – Applied Clay Science, 47(1–2): 139–146.